

## ヒロでの読み出しノイズ： Science Chip

本原顕太郎

1998 年 12 月 10 日

### 1 取得したデータとパラメータ

CISCO に新 1 ボードとサイエンスグレードチップを載せて読み出しノイズを測定した。ただし、チップのコドラント 3 はボンディングワイヤーがはずれたせいで、同一の列のみを読み出す状態になっている。

取得したデータとその際のパラメータを表 1 に示す。77K でのデータは、すべて高砂のモーター電源のスイッチは入っている。

### 2 解析

#### 2.1 stddev フレーム

以下の 3 種類の stddev フレームを作成。常温のデータについても、なぜかいつも見られる 1 ピクセルごとの縞縞が出ていなかったので、傾きの除去を行ったフレームも作成した。

- 生データそのままで、はじめの 1 枚を除いたフレームで stddev。
- DC オフセットを除去して、はじめの 1 枚を除いたフレームで stddev。
- 1 次のスプライン関数で x,y 方向ともに傾きを除去して、はじめの 1 枚を除いたフレームで stddev。

### 3 結果： Stddev

#### 3.1 数値

stddev フレームを imstat した結果を以下に示す。表の数値の意味は、 stddev フレームを IRAF で

`imstat (filename) lower=0.01 upper=40`

した結果で、

$(\text{mean}) / (\text{mode}) \pm (\text{stddev})$

となっている。単位は、 ADU r.m.s.。

日付	No.	温度 (K)	積分時間 (s)	コメント
1998/11/14	0807~0826	room	3	CISCO のデュワーを開けた状態でボックスをつけて 同上
	0827~0846	room	12	
1998/11/20	0920~0939	77	3	すべてのモーターの保持電流 On $N_{sample} = 1, 2, 4, 6, 3, 5$
	0940~0959	77	3	
	0184~0263	77	12	

表 1: 取得したデータとパラメータ。ファイルのプレフィックスは noise. である。

### 3.2 11/14 : 室温

Q	No.	$T_{int}$	Raw	Offset 除去	傾き除去
1	0807-0826	3	$3.605/3.515 \pm 0.7558$	$3.054/3.025 \pm 0.5839$	$3.052/2.963 \pm 0.5822$
	0827-0846	12	$4.401/4.381 \pm 0.9537$	$3.062/3.085 \pm 0.5901$	$3.062/3.065 \pm 0.5908$
2	0807-0826	3	$3.211/3.168 \pm 0.5801$	$2.749/2.571 \pm 0.5756$	$2.751/2.612 \pm 0.5749$
	0827-0846	12	$3.997/3.912 \pm 0.6781$	$2.751/2.588 \pm 0.5736$	$2.753/2.691 \pm 0.5752$
3	0807-0826	3	$3.727/3.609 \pm 1.246$	$3.23/3.217 \pm 0.6146$	$3.228/3.127 \pm 0.6155$
	0827-0846	12	$4.328/4.236 \pm 0.9057$	$3.258/3.18 \pm 0.6604$	$3.253/3.173 \pm 0.6611$
4	0807-0826	3	$3.331/3.333 \pm 0.5794$	$2.81/2.772 \pm 0.5467$	$2.807/2.857 \pm 0.5455$
	0827-0846	12	$4.28/4.111 \pm 1.265$	$2.813/2.814 \pm 0.5663$	$2.807/2.652 \pm 0.5668$

### 3.3 11/20 : 77K

#### 3.3.1 通常読み出し (3秒積分)

Q	No.	$T_{int}$	Raw	Offset 除去	傾き除去
1	0920-0939	3	$15.59/15.24 \pm 2.779$	$15.04/14.66 \pm 2.701$	$15./14.61 \pm 2.705$
	0940-0959	3	$15.64/15.49 \pm 2.681$	$15.2/14.97 \pm 2.606$	$15.16/14.96 \pm 2.615$
2	0920-0939	3	$4.82/4.779 \pm 1.29$	$4.04/4.221 \pm 1.165$	$4.029/4.02 \pm 1.164$
	0940-0959	3	$4.907/4.881 \pm 1.245$	$4.079/4.06 \pm 1.131$	$4.065/4.237 \pm 1.131$
3	0920-0939	3	$4.724/4.676 \pm 1.122$	$4.019/4.11 \pm 1.033$	$4./3.998 \pm 1.035$
	0940-0959	3	$4.744/4.658 \pm 1.115$	$4.018/4.238 \pm 1.026$	$4.001/4.257 \pm 1.028$
4	0920-0939	3	$4.587/4.662 \pm 1.049$	$3.89/3.939 \pm 1.062$	$3.874/3.92 \pm 1.064$
	0940-0959	3	$4.568/4.553 \pm 1.035$	$3.893/4.008 \pm 1.054$	$3.878/3.866 \pm 1.056$

#### 3.3.2 マルチサンプル (12秒積分)

Q	No.	$N_{sam}$	Raw	Offset 除去	傾き除去
1	0960-0979	1	$5.597/5.369 \pm 1.098$	$4.413/4.352 \pm 1.095$	$4.402/4.485 \pm 1.095$
	0980-0999	2	$4.38/4.226 \pm 0.8797$	$3.188/3.122 \pm 0.9165$	$3.191/3.109 \pm 0.9122$
	1040-1059	3	$5.338/5.237 \pm 0.8911$	$2.738/2.53 \pm 1.172$	$2.738/2.704 \pm 1.161$
	1000-1019	4	$5.058/5.02 \pm 0.8772$	$2.475/2.292 \pm 1.221$	$2.473/2.357 \pm 1.219$
	1060-1079	5	$4.241/4.13 \pm 0.708$	$2.241/2.08 \pm 0.7856$	$2.235/2.196 \pm 0.7862$
	1020-1039	6	$4.706/4.594 \pm 1.009$	$2.28/2.148 \pm 1.022$	$2.191/2.022 \pm 1.018$
2	0960-0979	1	$5.555/5.51 \pm 1.374$	$4.089/4.188 \pm 1.198$	$4.074/4.03 \pm 1.203$
	0980-0999	2	$4.379/4.147 \pm 1.072$	$2.865/2.914 \pm 0.9123$	$2.856/2.763 \pm 0.9134$
	1040-1059	3	$5.209/5.064 \pm 0.9594$	$2.405/2.354 \pm 0.7629$	$2.394/2.345 \pm 0.7637$
	1000-1019	4	$5.033/4.948 \pm 0.8837$	$2.074/1.994 \pm 0.6445$	$2.077/2.084 \pm 0.6452$
	1060-1079	5	$4.216/4.219 \pm 0.8783$	$1.839/1.77 \pm 0.6641$	$1.867/1.863 \pm 0.6618$
	1020-1039	6	$4.683/4.334 \pm 1.017$	$1.869/1.779 \pm 0.6368$	$1.866/1.825 \pm 0.6376$
3	0960-0979	1	$5.505/5.244 \pm 1.176$	$4.098/4.304 \pm 1.084$	$4.085/4.326 \pm 1.087$
	0980-0999	2	$4.282/4.08 \pm 0.8895$	$2.867/2.936 \pm 0.8191$	$2.864/2.932 \pm 0.8188$
	1040-1059	3	$5.141/5.131 \pm 0.7767$	$2.335/2.353 \pm 0.6621$	$2.329/2.356 \pm 0.6618$
	1000-1019	4	$4.983/4.874 \pm 0.7227$	$2.043/1.891 \pm 0.6276$	$2.035/1.987 \pm 0.6266$
	1060-1079	5	$4.168/4.087 \pm 0.6936$	$1.812/1.891 \pm 0.605$	$1.811/1.531 \pm 0.605$
	1020-1039	6	$4.506/4.326 \pm 0.8242$	$1.841/1.827 \pm 0.5685$	$1.739/1.658 \pm 0.5649$
4	0960-0979	1	$5.306/5.242 \pm 1.118$	$3.943/3.803 \pm 1.109$	$3.928/4.005 \pm 1.115$
	0980-0999	2	$4.464/4.352 \pm 0.8218$	$2.742/2.704 \pm 0.8235$	$2.748/2.774 \pm 0.8237$
	1040-1059	3	$5.019/4.931 \pm 0.7127$	$2.242/2.238 \pm 0.6917$	$2.247/2.18 \pm 0.6905$
	1000-1019	4	$5.207/5.158 \pm 0.6221$	$1.968/1.997 \pm 0.6326$	$1.974/2.002 \pm 0.6316$
	1060-1079	5	$3.798/3.679 \pm 0.6047$	$1.75/1.756 \pm 0.63$	$1.743/1.742 \pm 0.6296$
	1020-1039	6	$4.542/4.411 \pm 0.6878$	$1.747/1.619 \pm 0.5942$	$1.684/1.644 \pm 0.5818$

## 4 結果：マルチサンプル

フレーム 0960–1079 の  $N_{\text{Sample}}$ –Read noise の関係図を図 1 に示す。この図でのノイズの値としては、傾きを補正した stddev フレームにマスクをかけ、そのピクセル値の mean, mode の値を用いている。

$N_{\text{Sample}} = 6$  で、ノイズの現象がサチリ始めているように見受けられる。

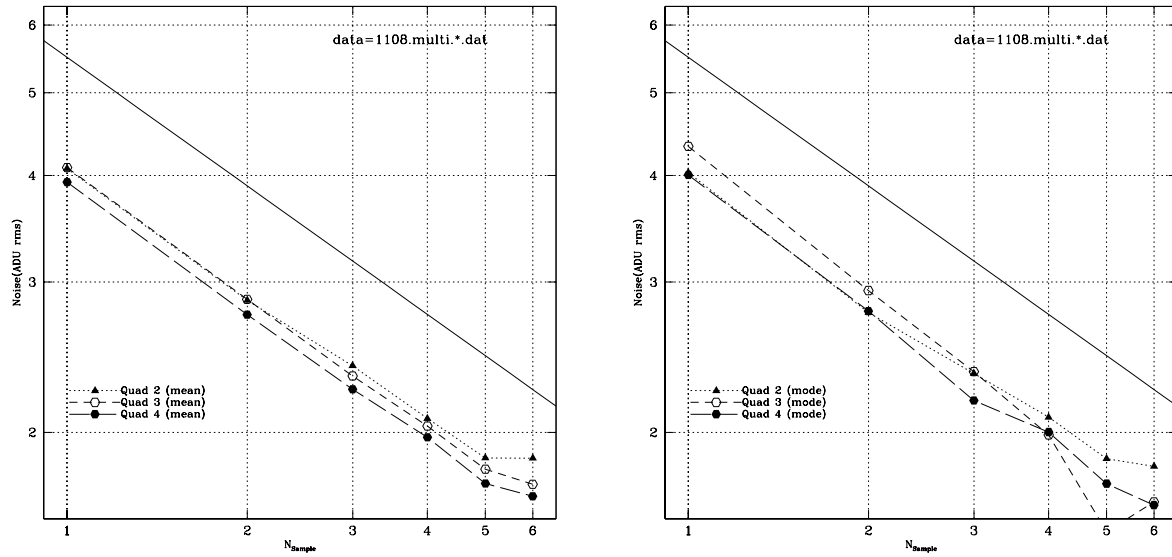


図 1: 左が mean, 右が mode で出した  $N_{\text{Sample}}$ –Read noise 関係。

## 5 結果：2次元化したフレーム

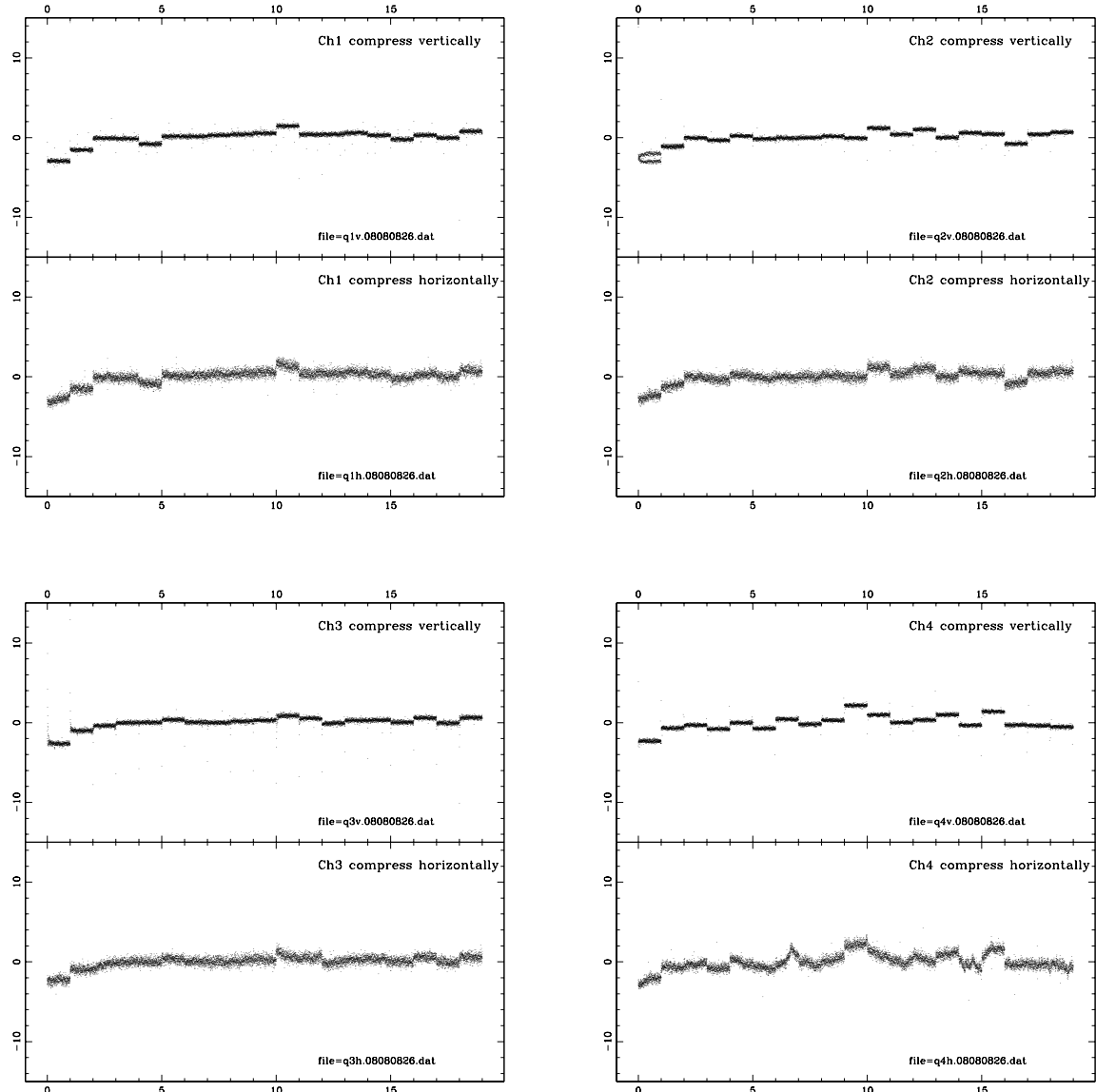
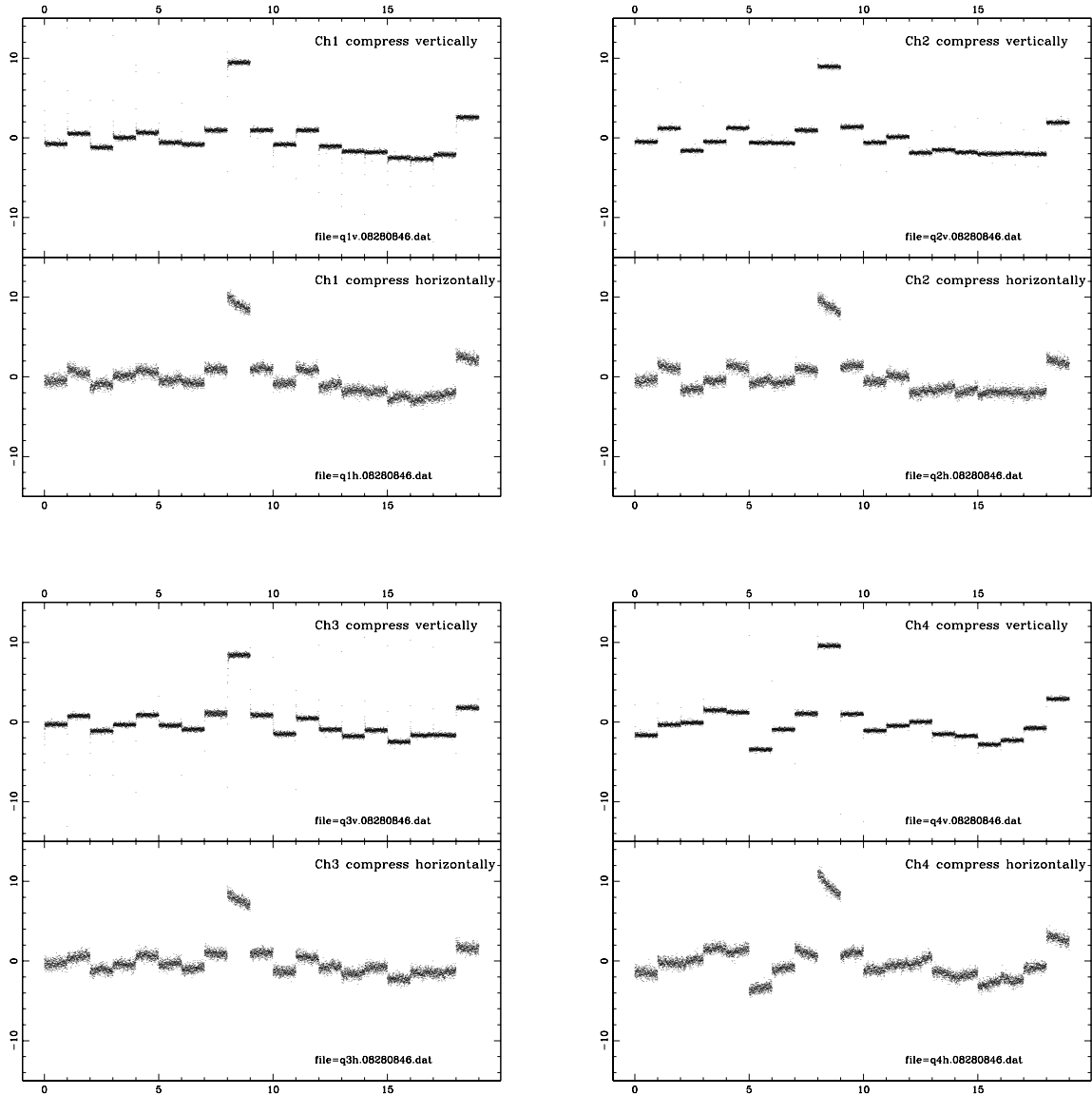
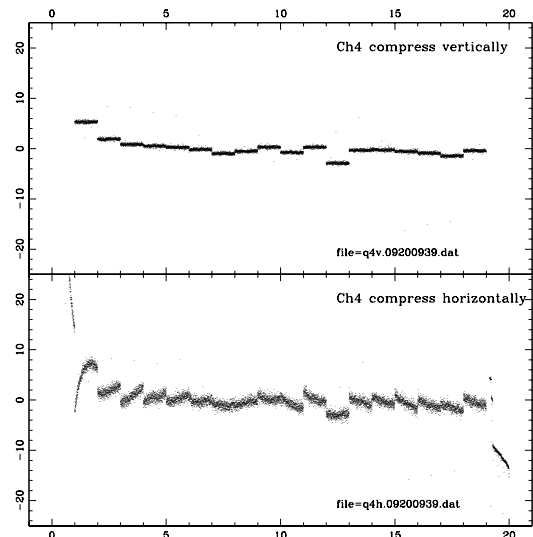
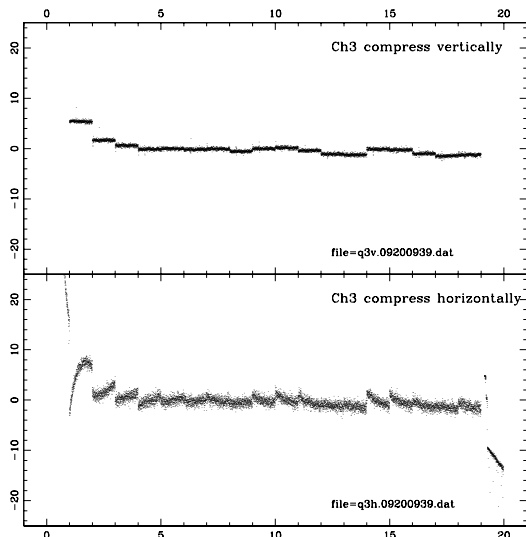
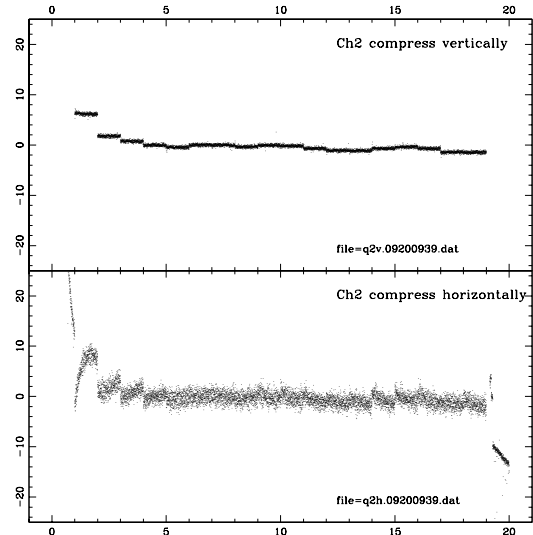
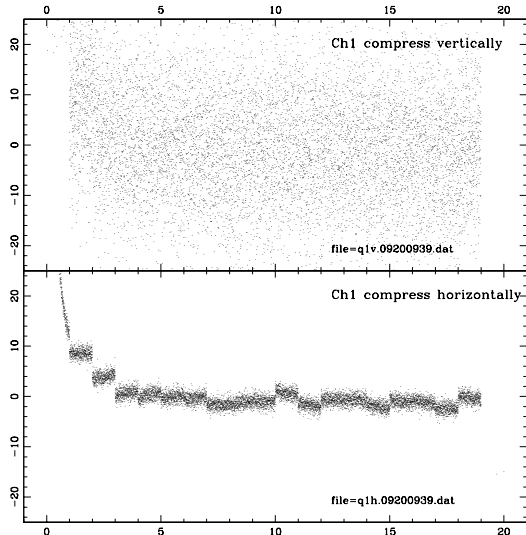


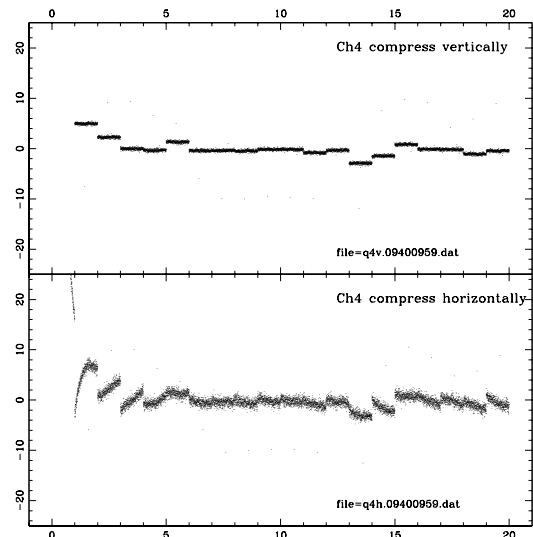
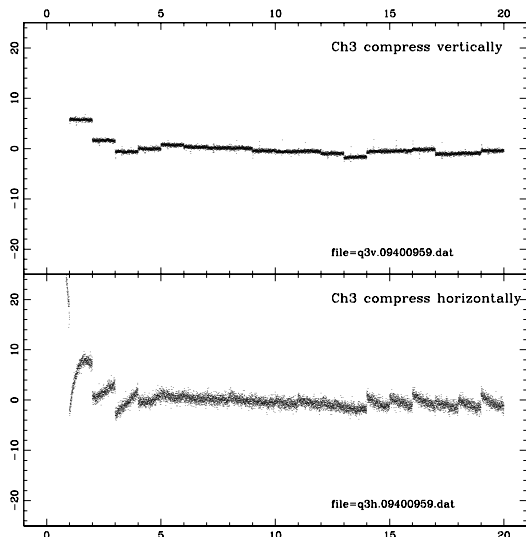
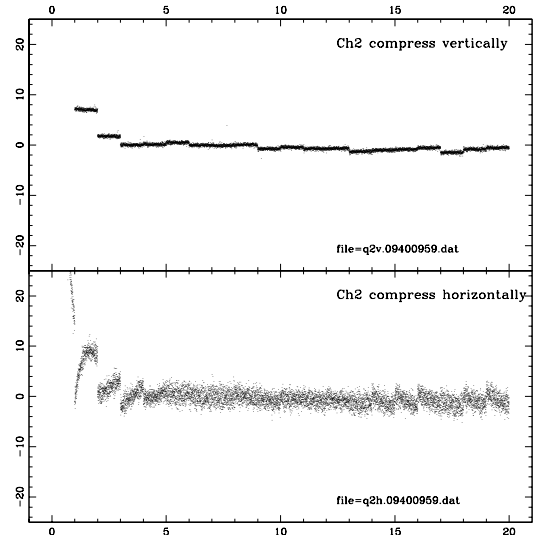
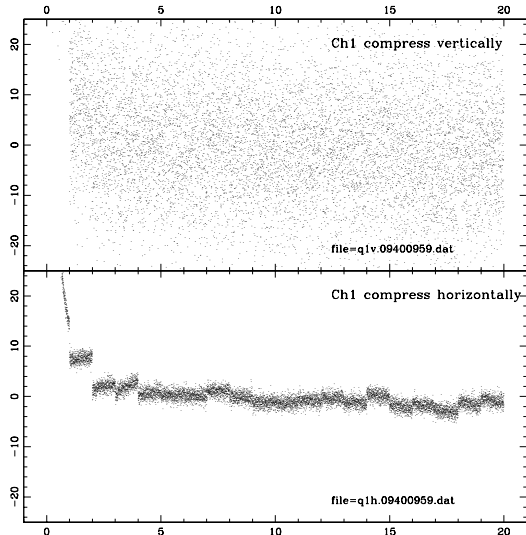
図 2: Frame=0808~0826  $T_{int} = 3$  sec,  $N_{Sample} = 1$



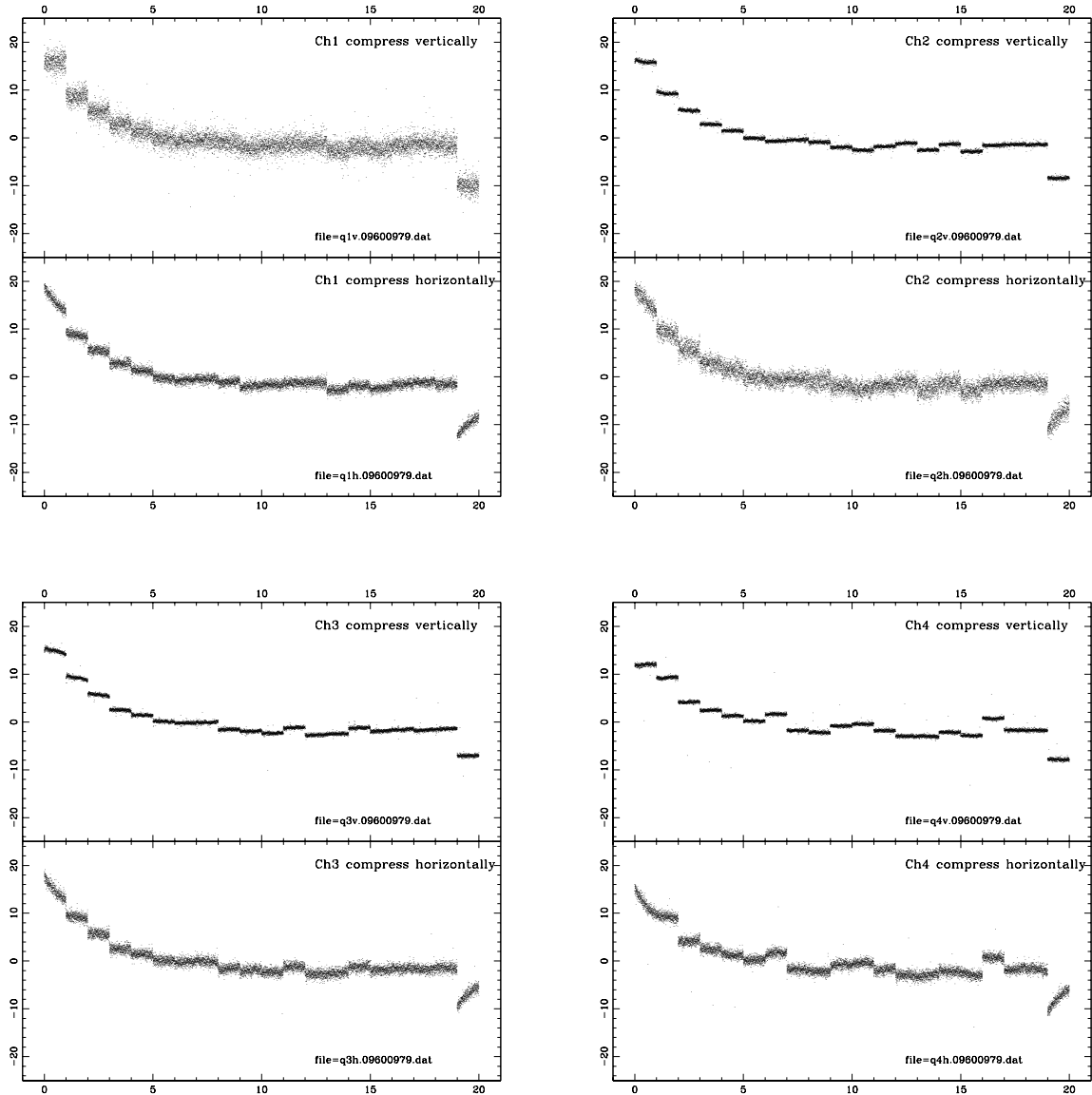
団 3: Frame=0828~0846  $T_{int} = 12$  sec,  $N_{Sample} = 1$



団 4: Frame=0920~0939  $T_{int} = 3$  sec,  $N_{Sample} = 1$



団 5: Frame=0940~0959  $T_{int} = 3$  sec,  $N_{Sample} = 1$



団 6: Frame=0960~0979  $T_{int} = 12$  sec,  $N_{Sample} = 1$

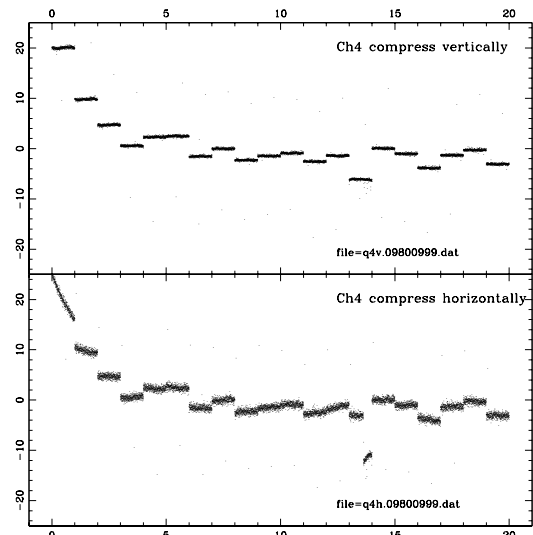
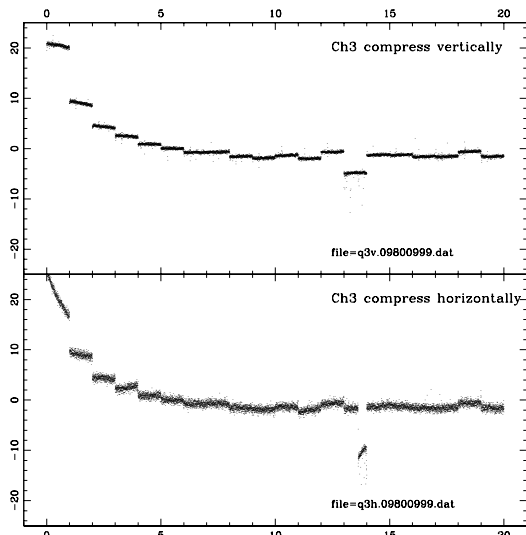
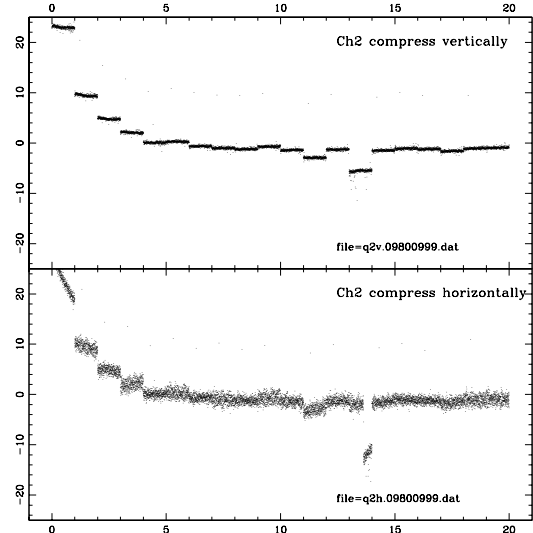
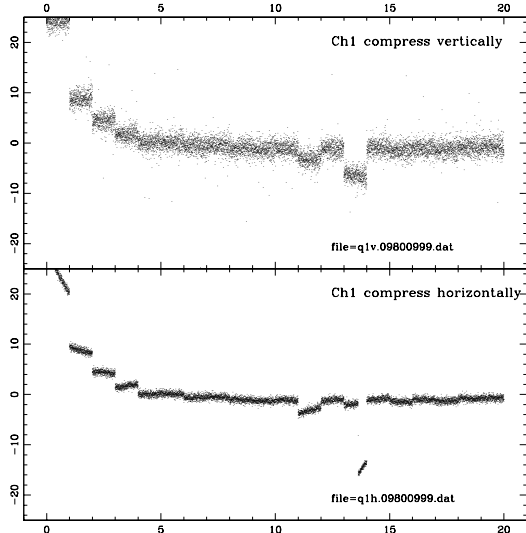


图 7: Frame=0980~0999  $T_{int} = 12$  sec,  $N_{Sample} = 2$

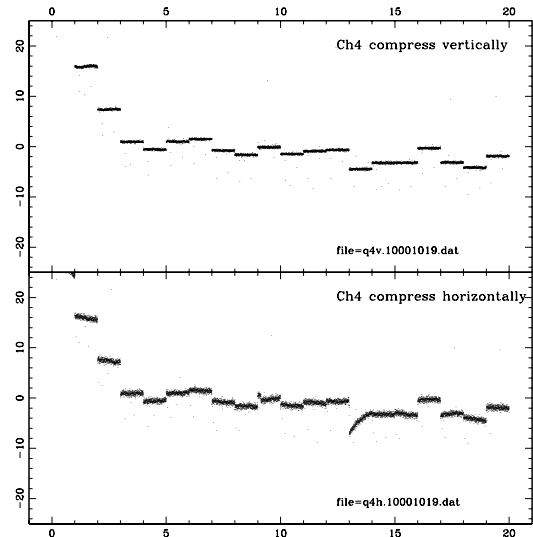
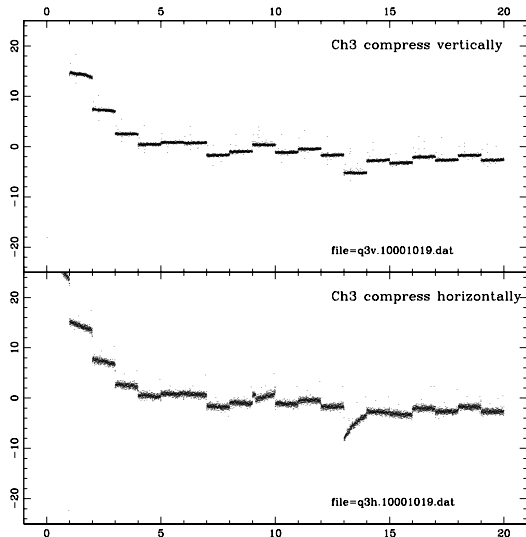
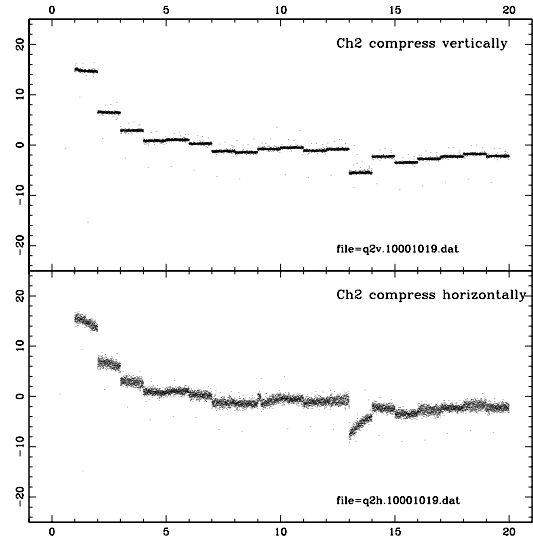
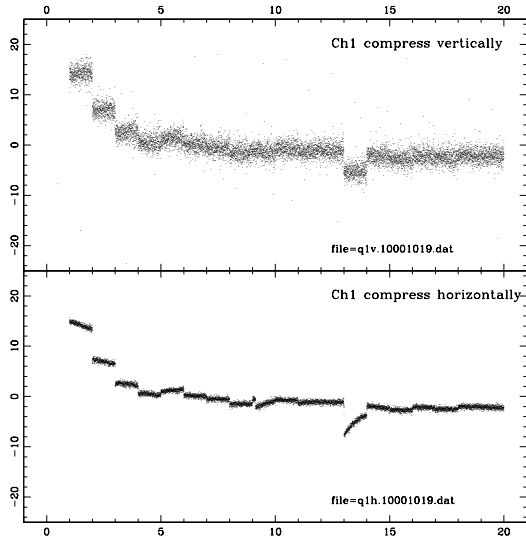


図 8: Frame=1000~1019  $T_{int} = 12$  sec,  $N_{Sample} = 4$

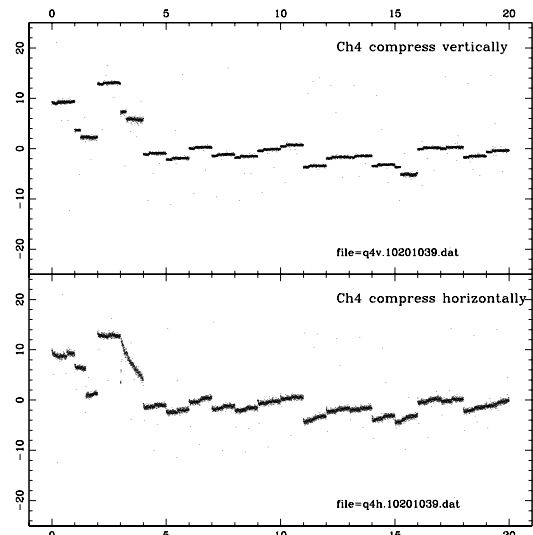
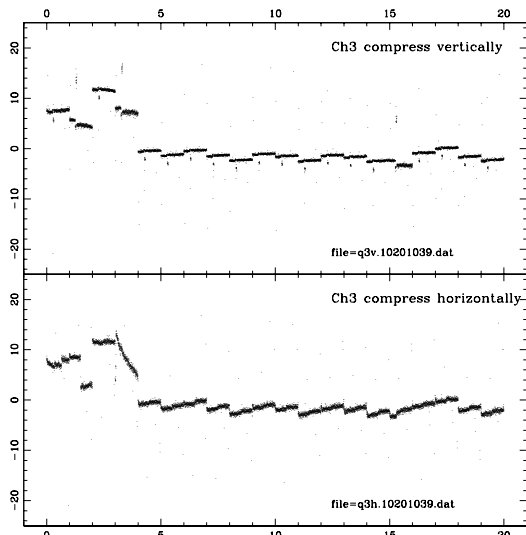
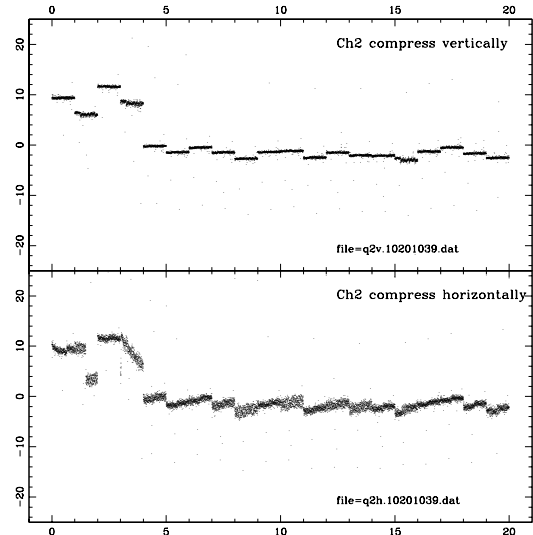
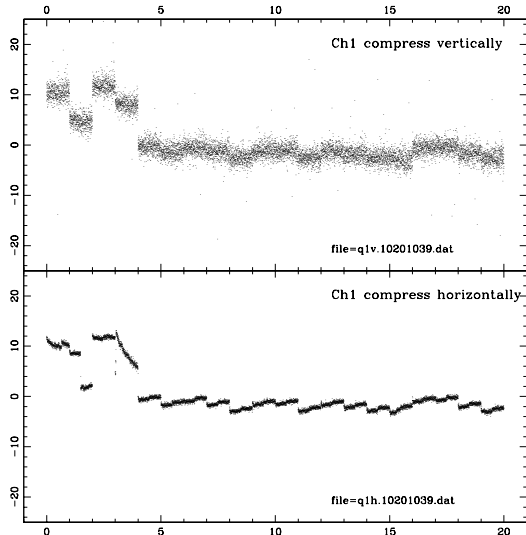
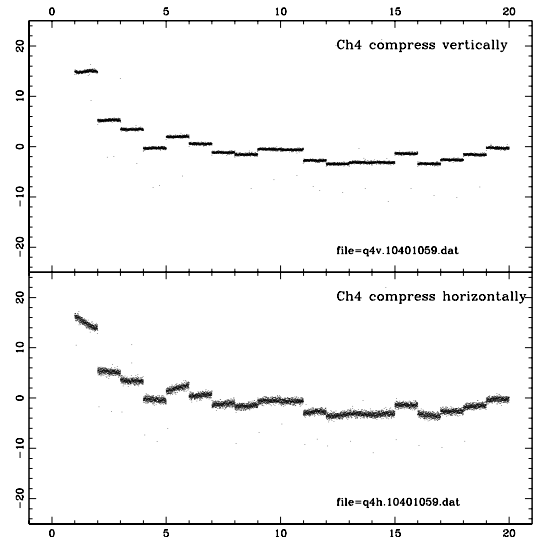
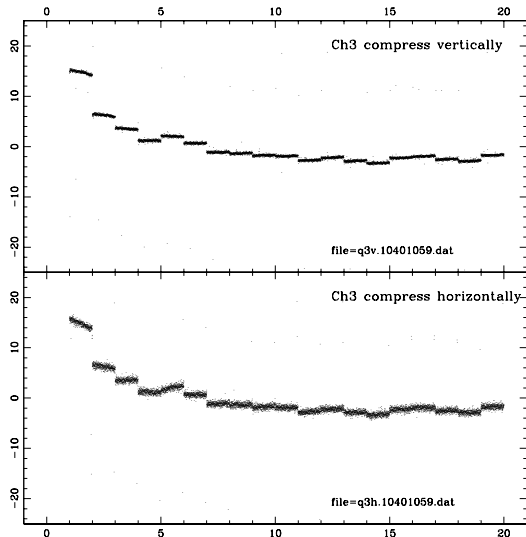
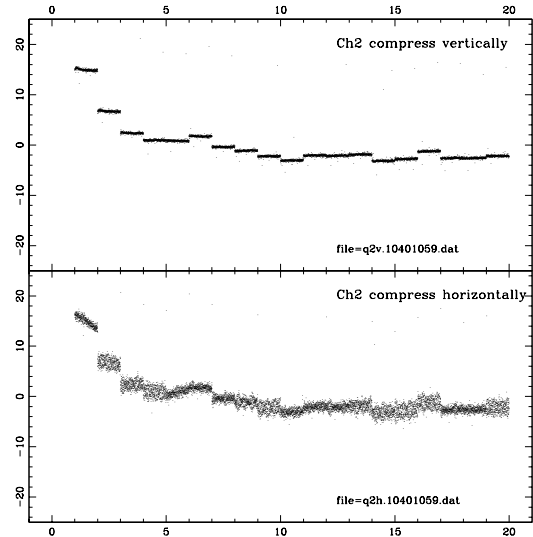
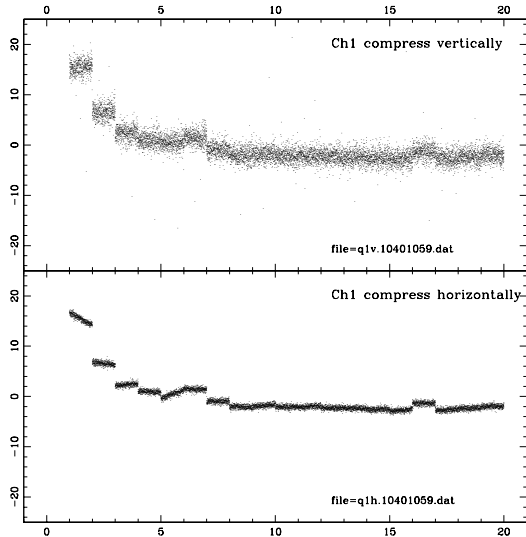
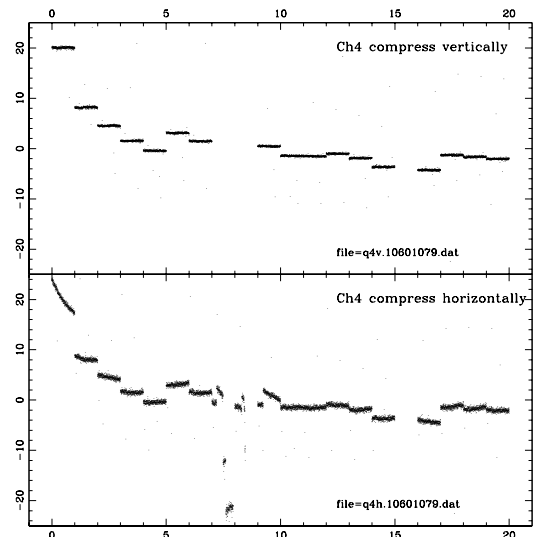
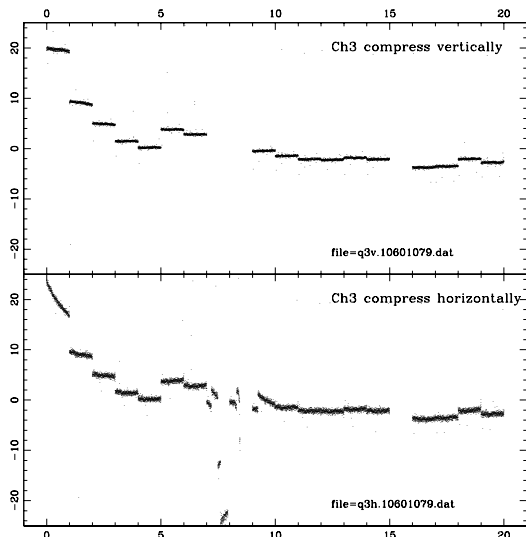
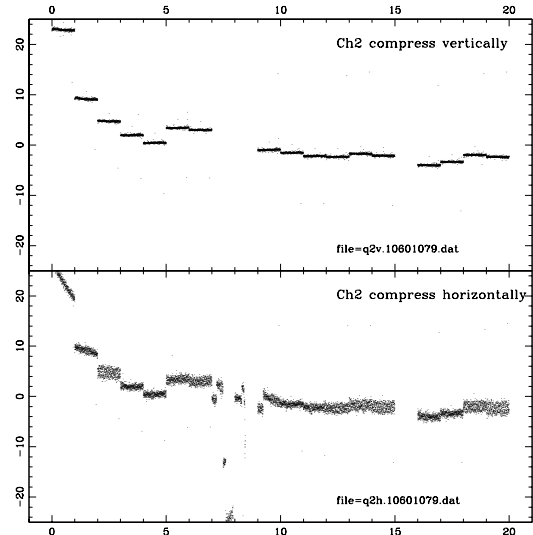
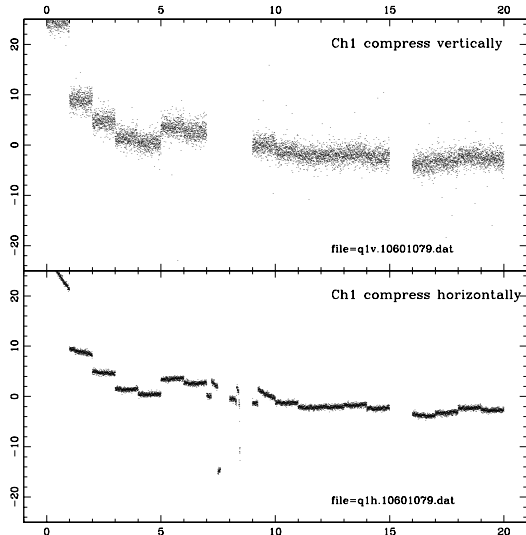


図 9: Frame=1020~1039  $T_{int} = 12$  sec,  $N_{Sample} = 6$



団 10: Frame=1040~1059  $T_{int} = 12$  sec,  $N_{Sample} = 3$



団 11: Frame=1060~1079  $T_{int} = 12$  sec,  $N_{Sample} = 5$